

669.15'24'26-194.56:620.172.251.2

## (413) オーステナイト鉄合金の高温変形挙動

電気通信大学 ○酒井 拓 大橋 正幸

大学院 和田 重伸

1 緒言 オーステナイト鉄ならびにその合金の高温変形は、動的再結晶過程により支配されると考えられている。<sup>2)</sup> 本研究は動的再結晶挙動におよぼす合金元素の影響を調査する実験の1つとして、304系ステンレス鋼の高温変形特性と変形組織を観察調査し、その結果を既報の炭素鋼の結果と比較検討して合金元素添加の影響を明らかにしようとするものである。

## 2 実験方法 供試鋼の化学成分

表1 供試鋼の化学成分(wt%)

Materials	C	Si	Mn	Cr	Ni
A Fe-19Cr-10Ni	0.05	0.56	1.41	19.22	10.10
B Fe-19Cr-11Ni	0.006	0.58	1.23	18.94	10.76
C Fe	0.036	0.028	0.27	—	—

を表1に示す。試験片は平行部長さ25mm、幅3mm、厚さ0.25または0.6mmの板状であり、各試験片は1100°Cに10min間保持して結晶粒径をある一定の大きさに調整した後、それ以下の温度まで炉冷

しそこで10min間保持後引張試験を行った。試験温度は960°C～1100°Cである。

## 3 実験結果 A, B 2種類のステンレス鋼に関する結果は誤差内ではほぼ一致したので、ここでは主にAステンレスとFeの結果について述べる。

(1) 3鋼種の応力-ひずみ( $\sigma-\epsilon$ )曲線は、鋼種によらず1つのピーク応力または2～3回の応力の振動を示した後破断に至った。オ1ピーク応力 $\sigma_m$ とそれが生ずるひずみ $\epsilon_m$ はひずみ速度に伴い図1に示すような変化を示す。 $\sigma_m$ と $\epsilon_m$ はCr, Niの添加に伴い明確な増加を示した。 $\epsilon_m$ は動的再結晶の開始ひずみと密接に関係することから<sup>2)</sup>、オーステナイト鉄へのCrとNiの添加は動的再結晶を遅らせる働きをすると結論される。

(2) オ1ピーク応力 $\sigma_m$ と試験温度Tとひずみ速度との間に、 $\dot{\epsilon} = A \cdot \sigma_m^m \cdot \exp(-Q/RT)$ で近似し得る関係式が成立した(図1(a)参照)。両ステンレスのQとmはほとんど一致して、 $Q = 78 \pm 2 \text{ kcal/mol}$ ,  $m = 4.1$ であり、前者は18-8ステンレス鋼中のFeの自己拡散の活性エネルギー- $Q_{sd}$ にはほぼ近い。動的再結晶を示す材料は $Q \geq Q_{sd}$ ,  $m > 6$ を示して、動的回復の場合の $Q \approx Q_{sd}$ ,  $m < 5$ と区別できるとされているが<sup>2)</sup>、今回のステンレスの結果はこの分類とは一致しない。

(3) 高ひずみの変形組織は引張方向への異方性のないほぼ等軸の結晶粒で構成されており、その平均径は試験条件 $\zeta$ (= $\dot{\epsilon} \cdot \exp(Q/RT)$ )または $\sigma_m$ のみの関数で整理された。その関数関係は炭素鋼の結果<sup>2)</sup>と類似している。

(参考文献) 1. 例えば、酒井：鉄鋼の高温変形挙動(進歩総説)，日本鉄鋼協会(1979), 19

2. 作井, 酒井, 武石：鉄と鋼, 62(1976), 856

作井, 酒井 : 鉄と鋼, 63(1977), 285

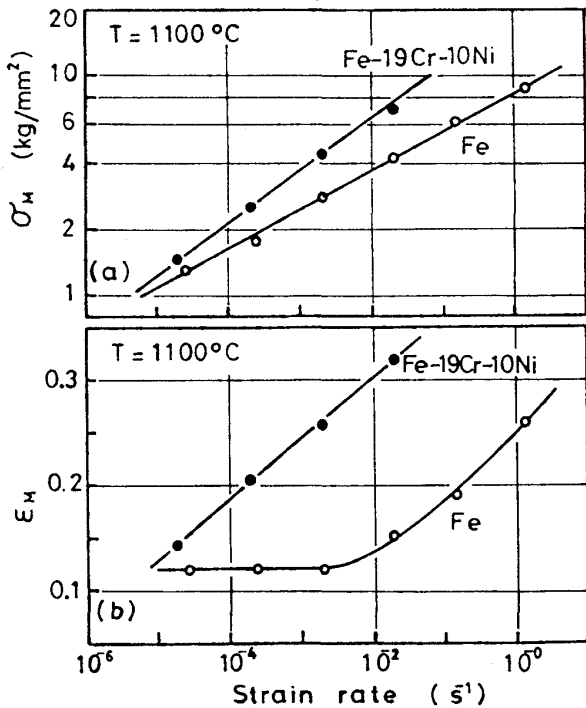


図1. 1100°Cにおける $\sigma_m$ (a)と $\epsilon_m$ (b)のひずみ速度に伴う変化